

Заметных количественных изменений в поведении  $I_{\Omega}/I_0$  и  $\tau$  при изменении угла схождения  $2\theta$  в диапазоне  $10-130^\circ$  обнаружено не было. В связи с этим причиной уменьшения  $\tau$  следует считать нагревание пленки, обусловленное поглощением излучения записывающих пучков. На рис. 4 показана зависимость  $\tau$  от температуры пленки при постоянном значении  $I_0 = -0.1 \text{ мВт/мм}^2$ . Измерения производились в условиях терmostатирования пленки и обеспечения хорошего теплообмена ее поверхности с объемом воздушного терmostата.

Из формулы (3) видно, что при  $\tau = \text{const}$  зависимость  $I_{\Omega}/I_0$  остается линейной в широком диапазоне изменений  $I_0$ . Однако одинаковая степень уменьшения  $I_{\Omega}/I_0$  и  $\tau$  при увеличении  $I_0$  указывает на то, что при  $I_0 > \sim 0.1 \text{ мВт/мм}^2$  зависимость  $I_{\Omega}/I_0$  должна выходить на насыщение. О влиянии насыщения рабочего перехода БР570-М412 на запись голограмм в пленках с БР уже указывалось в [7]. В простейшем случае эффект насыщения можно описать зависимостью фоторефрактивного коэффициента  $\beta$  от  $I_0$  [11]

$$\beta = \beta_0 [1 + I_0/I_{\text{н}}]^{-1}, \quad (4)$$

где  $I_{\text{н}}$  — интенсивность насыщения.

На рис. 3 сплошной линией показана зависимость  $I_{\Omega}/I_0$  от  $I_0$ , рассчитанная по формуле (3), в которую подставлялись экспериментальные значения  $\tau$  и значения  $\beta$ , вычисленные по формуле (4) при  $I_{\text{н}} = 0.06 \text{ мВт/мм}^2$ . Хорошее совпадение экспериментальных и рассчитанных значений в широком диапазоне изменения  $I_0$  подтверждает правильность приведенной интерпретации поведения коэффициента  $\beta$ .

Таким образом, полученные в работе результаты показывают, что основным фактором, ограничивающим дифракционную эффективность пленок с БР, является насыщение рабочего перехода ФС. Максимальная дифракционная эффективность фазовых решеток в таких пленках реализуется путем их терmostатирования при  $t \sim 10^\circ \text{C}$ . Уменьшение постоянной времени записи при этом может быть достигнуто дополнительной подсветкой пленки излучением в самой области спектра [8].

### Литература

- [1] Барменков Ю. О., Зосимов В. В., Кожевников Н. М. и др. ДАН СССР, 1986, т. 290, № 5, с. 1095—1098.
- [2] Степанов С. И., Трофимов Г. С. Тез. докл. VI Всес. школы-семинара по оптической обработке информации. Фрунзе, ФПИ, 1986, ч. 2, с. 34—35.
- [3] Hall T. J., Fiddy M. A., Ner M. S. Opt. Lett., 1980, v. 5, N 11, p. 485—487.
- [4] Бондаренко А. Н., Маслов Б. Я., Рудая Б. Б., Троценко В. П. ПТЭ, 1975, № 6, с. 211—213.
- [5] Петров М. П., Степанов С. И., Хоменко А. В. Фоточувствительные электрооптические среды в голографии и оптической обработке информации. Л.: Наука, 1983. 270 с.
- [6] Грозный А. В., Духовный А. М., Лещев А. А. и др. В кн.: Оптическая голография. Л.: Наука, 1979, с. 92—122.
- [7] Светочувствительные биологические комплексы и оптическая регистрация информации. Сб. научных трудов. Пущино, ОНТИ НЦБИ АН СССР, 1985. 208 с.
- [8] Барменков Ю. О., Зосимов В. В., Кожевников Н. М. и др. Письма в ЖТФ, 1986, т. 12, № 5, с. 281—284.
- [9] Винецкий В. Л., Кухтарев Н. В., Одулов С. Г., Соскин М. С. УФН, 1979, т. 129, с. 113—137.
- [10] Винецкий В. Л., Кухтарев Н. В., Соскин М. С. Квант. электр., 1977, т. 4, с. 420—425.
- [11] Зельдович Б. Я., Пилипецкий Н. Ф., Шкунов В. В. Обращение волнового фронта. М.: Наука, 1985. 240 с.

Ленинградский политехнический  
институт им. М. И. Калинина

Поступило в Редакцию  
25 декабря 1986 г.

Журнал технической физики, т. 58, в. 4, 1988

### ФЛЮОРЕСЦЕНЦИЯ И ФОСФОРЕСЦЕНЦИЯ АМОРФНЫХ СЛОЕВ НИТРИДА КРЕМНИЯ

В. В. Васильев, И. П. Михайловский, К. К. Свиташев

Наблюдаемый в последнее время интерес к изучению люминесценции аморфного нитрида кремния ( $a\text{-Si}_3\text{N}_4$ ) связан главным образом с необходимостью выяснения электронного спектра локализованных состояний [1-5]. В ряде работ отмечалось, что фотoluminesценция (ФЛ)

$\alpha\text{-Si}_3\text{N}_4$  имеет характерные черты ФЛ аморфных полупроводников и халькогенидных стекол: 1) наличие больших стоксовских потерь, составляющих примерно половину ширины запрещенной зоны [1] (максимум зеленой полосы излучения (З-полоса) лежит в области  $E_{\max} \sim \sim 2.5$  эВ,  $\Delta E \sim 1$  эВ); 2) спектр фотовозбуждения (ФВ) З-полосы имеет максимум в области края фундаментального поглощения ( $E \sim 5$  эВ) [1]; 3) наличие эффекта «усталости» при стационарном возбуждении [2]; 4) наблюдение фотоиндуцированного поглощения [6]; 5) возрастание интенсивности ФЛ при понижении температуры [2]. Вместе с тем механизм ФЛ  $\alpha\text{-Si}_3\text{N}_4$ , природа центров свечения не выяснены, и для их идентификации в первую очередь необходимо знание кинетических характеристик свечения, данные о которых отсутствуют.

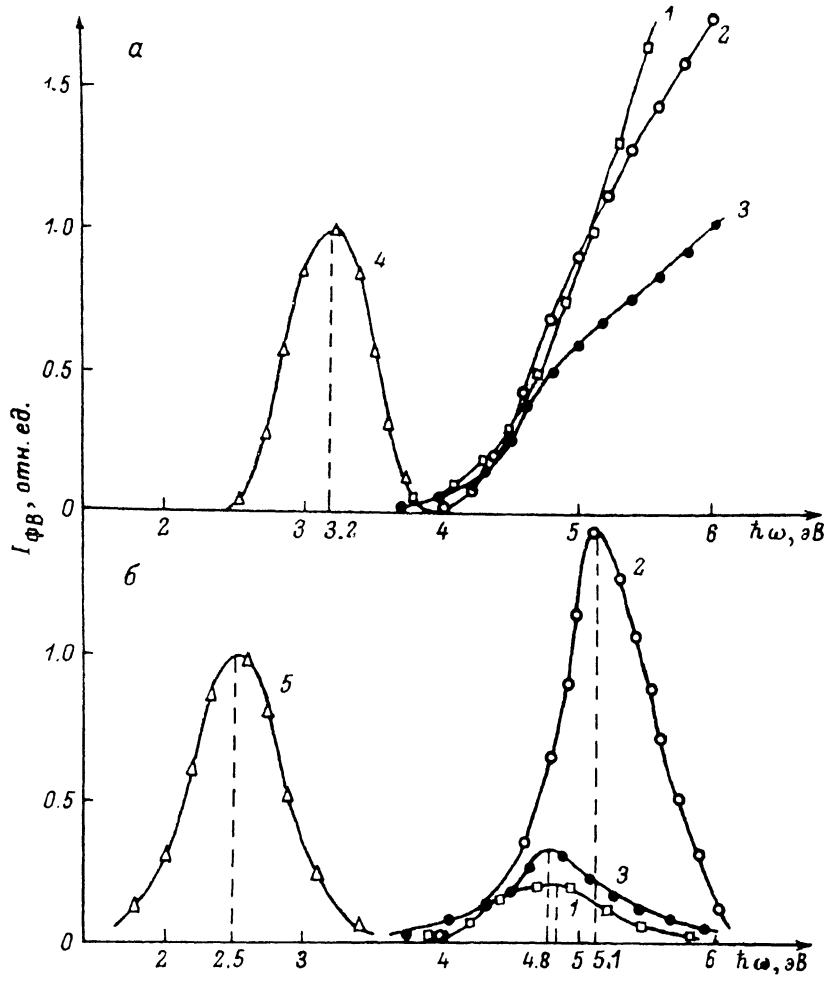


Рис. 1. Спектры ФЛ и ФВ Ф-полосы (а) и З-полосы (б) аморфных пленок нитрида кремния.  
1—3 — спектры ФВ (1 — ТХН, 2 — МСВ, 3 — МС образцы  $\alpha\text{-Si}_3\text{N}_4$ ); 4, 5 — спектры ФЛ.

В настоящей работе впервые наблюдалось медленное свечение (фосфоресценция)  $\alpha\text{-Si}_3\text{N}_4$  и показано, что по кинетике свечения полосы ФЛ могут быть разделены на фосфоресцирующую З-полосу и флюоресцирующую Ф-полосу ( $E_{\max} \sim 3.2$  эВ,  $\Delta E \sim 1$  эВ). Изучение ФЛ  $\alpha\text{-Si}_3\text{N}_4$  проводилось на образцах, изготовленных различными способами: 1) аммоилизом тетрахлорида кремния в РПД,  $\text{NH}_3/\text{SiCl}_4 = 10$ ,  $T = 750^\circ\text{C}$  — ТХН образцы; 2) аммоилизом моносилана в реакторе атмосферного давления в потоке водорода,  $\text{NH}_3/\text{SiH}_4 = 100$ ,  $T = 890^\circ\text{C}$  — МСВ образцы; 3) аммоилизом моносилана в РПД,  $\text{NH}_3/\text{SiH}_4 = 100$ ,  $T = 850^\circ\text{C}$  — МС образцы. Слои  $\alpha\text{-Si}_3\text{N}_4$  толщиной 0.3—0.5 мкм выращивались на кремниевых подложках.

Изучение спектров ФЛ и ФВ проводилось по методике [1]. Изучение кинетических характеристик проводилось с помощью флюориметра LIF-200 и азотного лазера ( $\lambda = 377$  нм).

Для раздельной регистрации спектров ФЛ и ФВ флюоресценции и фосфоресценции использовались модуляция излучения ФЛ, при которой регистрировалась как медленная, так

и быстрая ФЛ, и модуляция излучения накачки с частотой  $2 \cdot 10^3$  Гц. В последнем случае регистрировалась ФЛ с характерными временами послесвещения  $\tau \leq 5 \cdot 10^{-4}$  с.

Спектры флюоресценции и фосфоресценции с соответствующими спектрами ФВ приведены на рис. 1, а, б. Флюоресцентная Ф-полоса характеризуется временами послесвещения  $\tau \sim 10^{-9}$  с. Эта полоса излучения не имеет максимума в спектре ФВ, непрерывно разгораясь в области края фундаментального поглощения, причем интенсивность излучения обнаруживает зависимость от способа изготовления образцов  $a\text{-Si}_3\text{N}_4$ .

Интенсивность фосфоресцирующей З-полосы также обнаруживает зависимость от способа изготовления. Кроме того, имеется характерная длительность послесвещения для разных типов образцов:  $\tau \approx 10^{-1}$  с для МСВ,  $\tau \approx 5 \cdot 10^{-1}$  с для МС,  $\tau \approx 10^0$  с для ТХН образцов  $a\text{-Si}_3\text{N}_4$ .

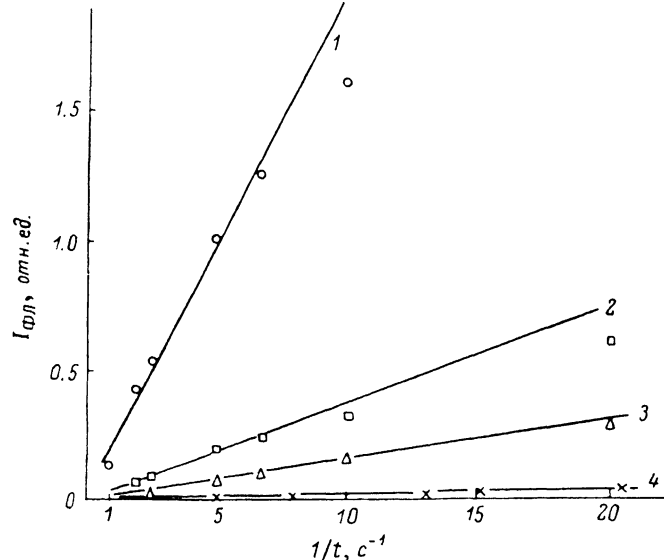


Рис. 2. Зависимость интенсивности послесвещения З-полосы от времени (ТХН образцы  $a\text{-Si}_3\text{N}_4$ ) для  $T=77$  (1), 295 (2), 373 (3) и 473 К (4).

Спектры ФВ фосфоресцирующей полосы имеют близкие максимумы в области края фундаментального поглощения, а величина стоксовского сдвига составляет  $\sim E_g/2$ . Изучение времени послесвещения (в максимуме излучения З-полосы) показало, что в первом приближении затухание при постоянной температуре пропорционально  $t^{-1}$ . На рис. 2 приведены зависимости интенсивности послесвещения для различных температур. Необходимо отметить, что температурное тушение во всем температурном интервале ( $T=77 \div 473$  К) не может быть описано одним значением энергии активации и, так же как для аморфных полупроводников, наблюдается слабая температурная зависимость в области низких температур [?].

По всей видимости, обнаруженная элементарность полос в спектрах излучения  $a\text{-Si}_3\text{N}_4$  позволяет сразу определить наиболее характерные особенности энергетического спектра запрещенной зоны. Первое, наиболее важное значение должно относиться к наличию дискретного уровня (полосы) в области 3.2 эВ, связанного с существованием Ф-полосы. Оптические переходы через этот уровень возникают как при возбуждении  $E_b \leq E_g$ , так и при генерации электронно-дырочных пар ( $E_b \sim E_g$ ). Причем этот дискретный уровень характерен для всех разновидностей исследуемых образцов  $a\text{-Si}_3\text{N}_4$ , а отличие их состоит только в интенсивности излучения (рис. 1, а). Природа этого уровня может быть связана с Si—Si дефектом, который, как показано в [8, 9], дает связывающее состояние вблизи потолка валентной зоны, а антисвязывающее отстоит от потолка валентной зоны на  $3.0 \pm 0.3$  эВ.

Вторая особенность связана с наличием уровня (полосы) в середине запрещенной зоны  $\sim 2.5$  эВ. Судя по спектру возбуждения (рис. 1, б), З-полоса возбуждается эффективно только на краю фундаментального поглощения. Очевидно, с увеличением энергии возбуждения ( $E_b > E_g$ ) происходит пространственное разделение электронно-дырочных пар, что приводит к уменьшению вероятности излучательной рекомбинации. В [2] отмечалось наличие связанных электронно-дырочных пар, что подтверждалось тушением ФЛ при приложении внешнего электрического поля.

Наиболее вероятное объяснение рекомбинационных оптических переходов через середину запрещенной зоны  $\alpha\text{-Si}_3\text{N}_4$ , как и в случае ФЛ халькогенидных стекол, нельзя найти в рамках простейшей зонной диаграммы, не учитывющей смещения (поляризации) решетки вблизи центров. По всей видимости, также необходимо полагать, что при захвате (освобождении) неравновесных носителей, находящихся в хвостах зон, за счет выделения энергии возможны изменения ближайшего окружения центров, приводящие к возникновению нового, метастабильного состояния вблизи середины запрещенной зоны. Последующая излучательная рекомбинация будет теперь соответствовать энергии  $\sim E_g/2$  [7, 10]. Обычно в этом случае при рассмотрении изменения зарядового состояния центров используется модель заряженных центров —  $D$ -центров с оборванными связями [10], в соответствии с которой дефект может находиться в трех зарядовых состояниях  $D^+$ ,  $D^-$  и  $D^0$ , причем полагается, что реакция  $2D^0 \rightarrow D^+ + D^-$  является энергетически выгодной (состояние с отрицательной эффективной корреляционной энергией). Неравновесные носители при генерации электронно-дырочных пар захватываются на соответствующие состояния  $D^+$  и  $D^-$ , в результате чего образуются метастабильные состояния  $D^0$  в середине запрещенной зоны.

Отметим, что в определенном смысле состояния  $D^0$  действительно метастабильны по отношению к воздействию температуры и облучению. В частности, нами наблюдался отжиг З-полосы ( $T=850$  °C,  $t=30$  мин для МСВ и ТХН образцов  $\alpha\text{-Si}_3\text{N}_4$ ) — медленная люминесценция тушилась полностью. А при стационарном возбуждении наблюдается эффект «усталости», как и в [2], который обычно связывают с «выключением» части центров  $D^0$  из рекомбинационного процесса.

Необходимо отметить, что наиболее подходящим кандидатом на роль такого центра в  $\alpha\text{-Si}_3\text{N}_4$  следует считать центры  $\text{Si}^0$ . Действительно, теоретические расчеты [11] показали, что оборванные связи кремния  $\text{Si}^0$  имеют амфотерное состояние вблизи середины запрещенной зоны. Сообщалось также [12], что в исходных образцах (образцы типа МС) был обнаружен ЭПР сигнал, который связывается с оборванными связями кремния.

В таком случае экспериментальным подтверждением предполагаемой модели для объяснения ФЛ З-полосы будет наблюдение фотопищевированного ЭПР сигнала.

### Литература

- [1] Vasilev V. V., Mikhailovskii I. P., Svitashov K. K. Phys. Stat. Sol. (a), 1986, v. 95, N 1, p. K37—K42.
- [2] Агафонов А. И., Долгов М. В., Лохныгин В. Д. и др. Письма в ЖТФ, 1986, т. 12, № 1, с. 10—13.
- [3] Pundur P. A., Shavalgin J. G., Gritsenko V. A. Phys. Stat. Sol. (a), 1986, v. 94, N 2, p. K107—K112.
- [4] Васильев В. В., Михайловский И. П., Эпов А. Е. Микроэлектроника, 1984, т. 13, № 5, с. 474—476.
- [5] Барабан А. П., Коноров П. П., Кричинин С. А. ФТТ, 1985, т. 27, № 1, с. 207—209.
- [6] Есаев Д. Г., Синица С. П. Микроэлектроника, 1984, т. 13, № 5, с. 448—455.
- [7] Фишер Р. В кн.: Аморфные полупроводники / Под ред. Бродски М. М.: Мир, 1982, с. 201—237.
- [8] Lieske N., Hezel R. Thin Solid Films, 1979, v. 61, N 2, p. 217—228.
- [9] Kärcher R., Ley L., Johnson R. L. Phys. Rev. B, 1984, v. 30, N 4, p. 1896—1910.
- [10] Street R. A. Advanges in Physics, 1976, v. 25, N 4, p. 397—454.
- [11] Robertson J., Powell M. J. Appl. Phys. Lett., 1984, v. 44, N 4, p. 415—417.
- [12] Fujita S., Sasaki A. J. Electrochem. Soc., 1985, v. 132, N 2, p. 398—402.

Институт физики полупроводников  
СО АН СССР  
Новосибирск

Поступило в Редакцию  
26 декабря 1986 г.

Журнал технической физики, т. 58, с. 4, 1988

### ПОГОННЫЙ ИМПЕДАНС ПРЕОБРАЗОВАТЕЛЯ

Г. А. Вугальтер, М. Б. Рогожина, Б. Н. Гусев, А. Г. Гуревич

При исследовании бегущих спиновых (магнитостатических) волн в магнитных пленках необходимо знать погонный импеданс преобразователей, при помощи которых осуществляется возбуждение и прием таких волн. Расчет этой величины основывается на численном